

Polare Moleküle

Hauptseminar: Physik der kalten Gase

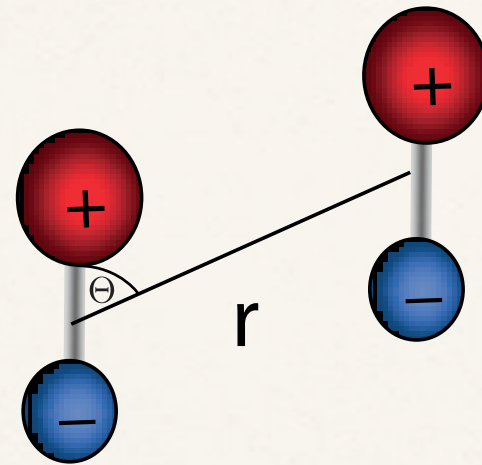
Lena Daschke

14.05.2013

Übersicht

- ❖ 1. Generelle Eigenschaften von Molekülen
- ❖ 2. Direkte Kühlmethoden von Molekülen
- ❖ 3. Herstellung von ultrakalten Molekülen
- ❖ 4. Stabilität von ultrakalten Molekülen
- ❖ 5. Theoretische Beschreibung von 2D Systemen

Motivation

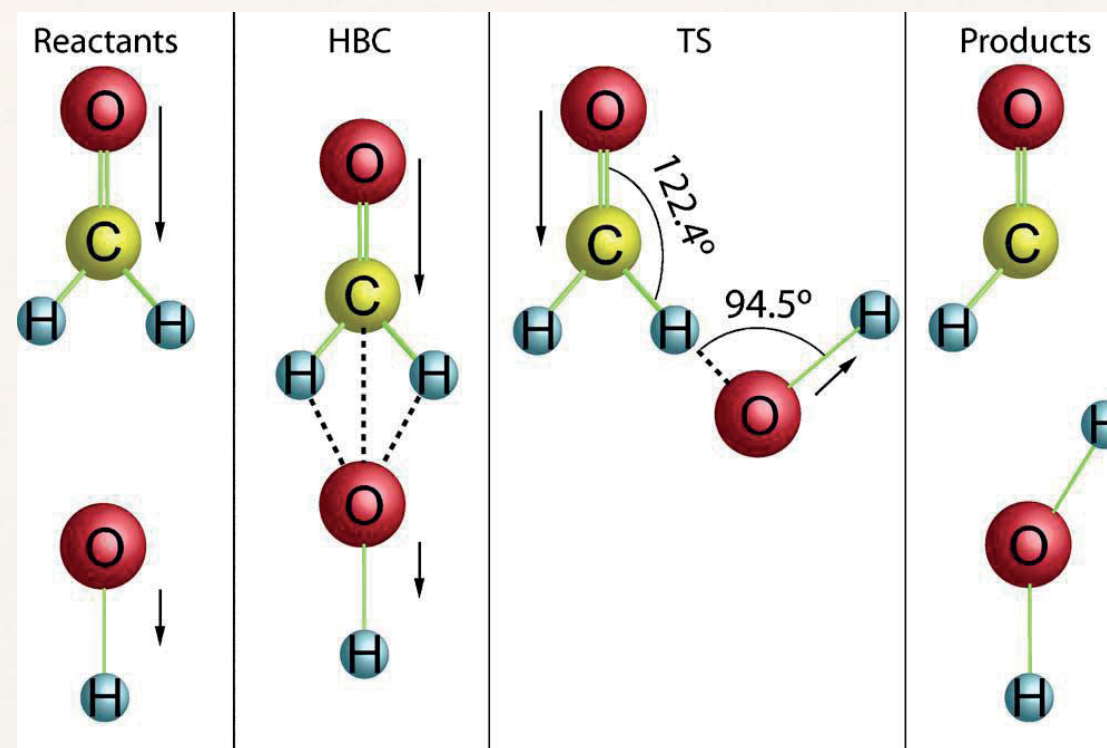


- ❖ anisotrope, langreichweitige WW: $U = \frac{C_{dd}}{4\pi} \frac{1 - 3 \cos^2 \theta}{r^3}$
- ❖ Elektrisches Dipolmoment sehr stark $\frac{\mu_0 \mu^2}{d^2 / \epsilon_0} \propto 10^{-4}$
- ❖ Innere Freiheitsgrade von polaren Molekülen als Qubits

Ultracold polar molecules, S. Ospelkaus
Conference on Research Frontiers in Ultra-Cold Atoms 4 - 8 May 2009

Motivation

- ❖ Über Dipolmomente steuerbare chemische Reaktionen

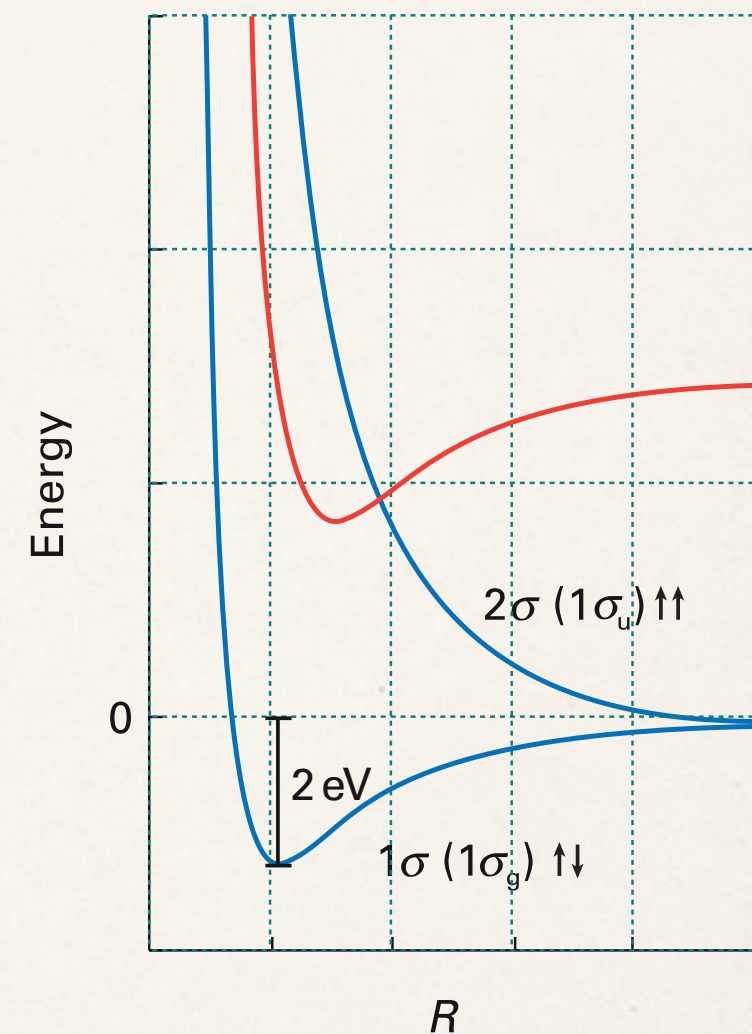


- ❖ Verbindung von Supraleitung und BEC

E. R. Hudson et al., Phys. Rev. A 73, 063404 (2006)

1.1 Molekülpotential

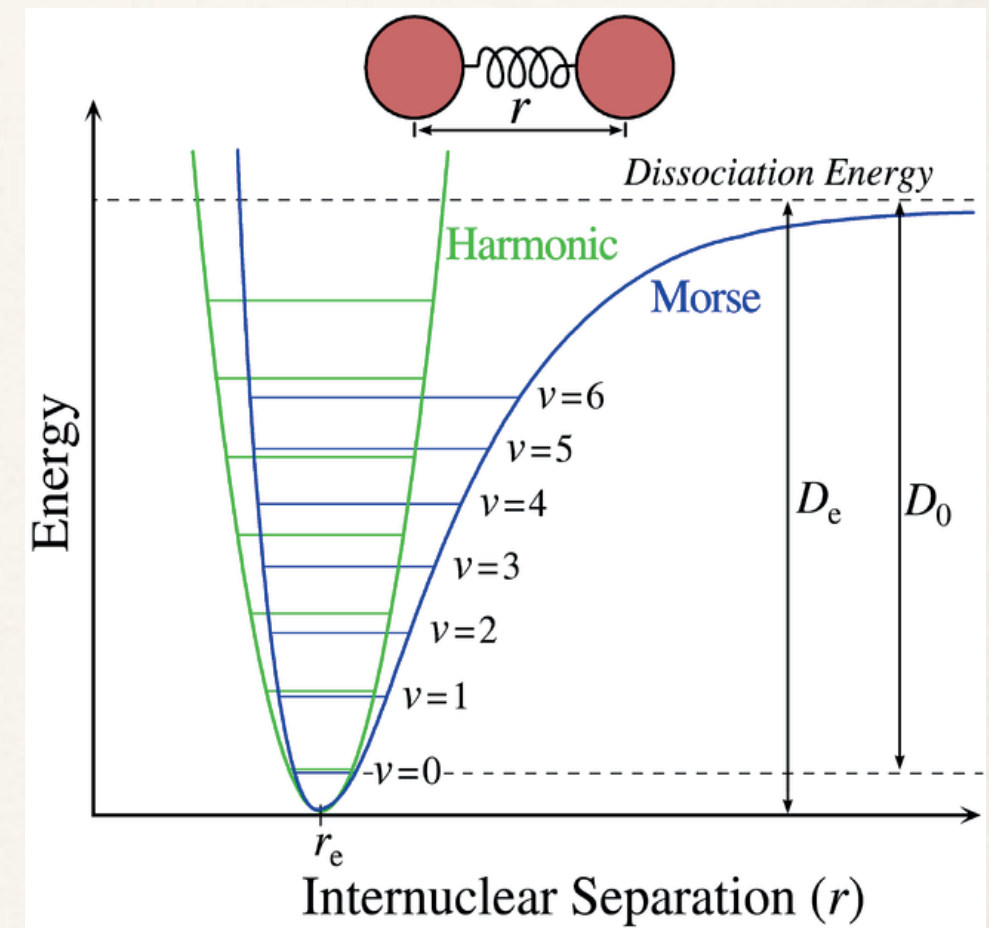
- ❖ Am Beispiel Wasserstoff
- ❖ Lösung der Schrödingergleichung
→ symmetrische und antisymmetrische Kombination der Wellenfunktion
- ❖ antisymmetrisch σ_u → antibindend
- ❖ symmetrisch σ_g → bindend
- ❖ Bindungsenergien \approx eV



P. W. Atkins, Physical Chemistry (8th Edition)

1.2 Vibrationszustände

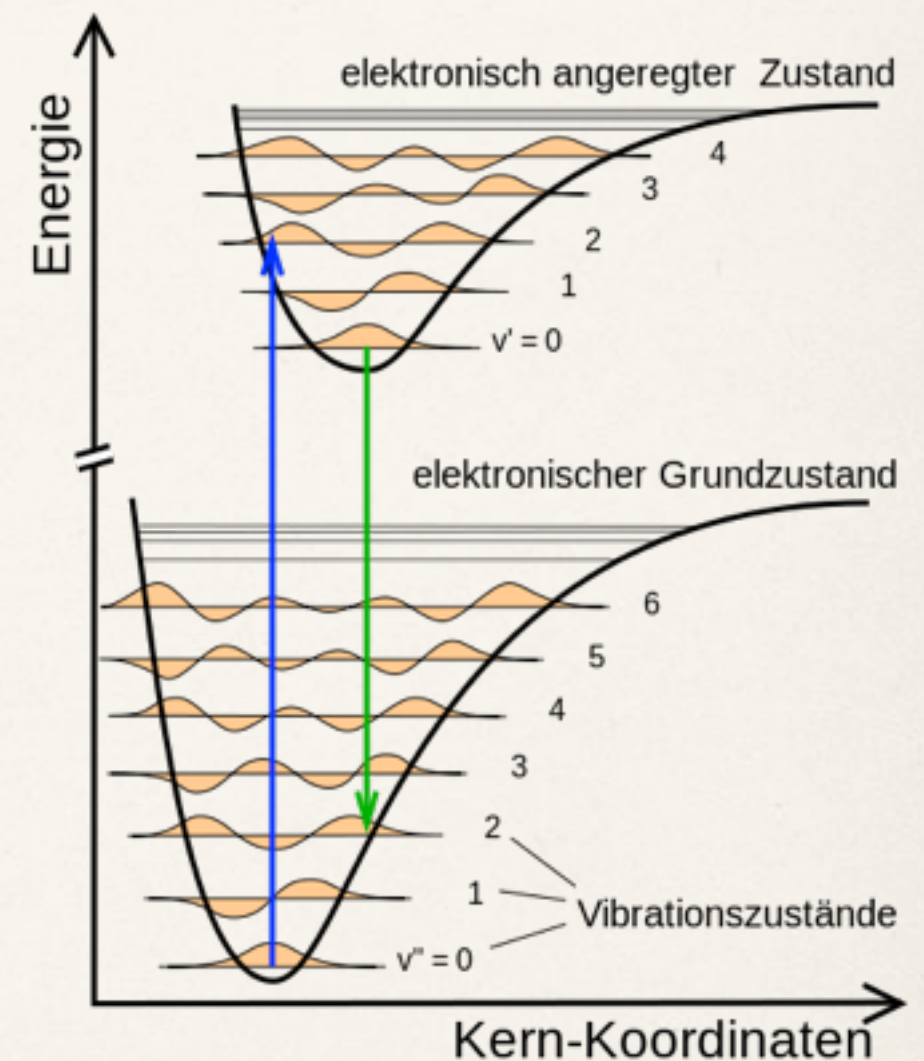
- ❖ Potential von zweiatomigen Molekülen
→ anharmonischer Oszillator
- ❖ Vibrationszustände nicht äquidistant
- ❖ Quantenzahl: v



<http://de.wikipedia.org/wiki/Morsepotential>

1.3 Aufenthaltswahrscheinlichkeiten

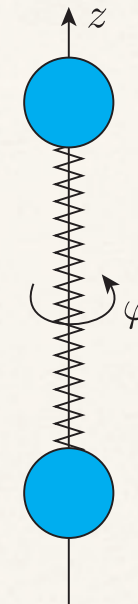
- ❖ Wellenfunktionen der Vibrationszustände eines zweiatomigen Moleküls
- ❖ Franck-Condon-Prinzip
→ Übergänge zwischen hohen Aufenthaltswahrscheinlichkeiten



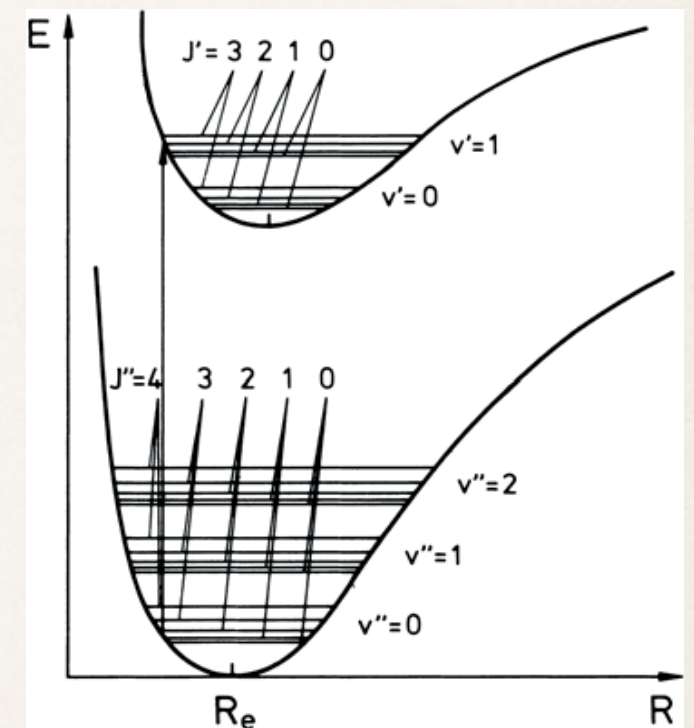
<http://de.wikipedia.org/wiki/Franck-Condon-Prinzip>

1.4 Rotationszustände

- ❖ Hantelmodell: nicht starrer Rotator
 → Rotation um z-Achse nicht möglich,
 da $L_z = -i\hbar \frac{d}{d\varphi} = 0$



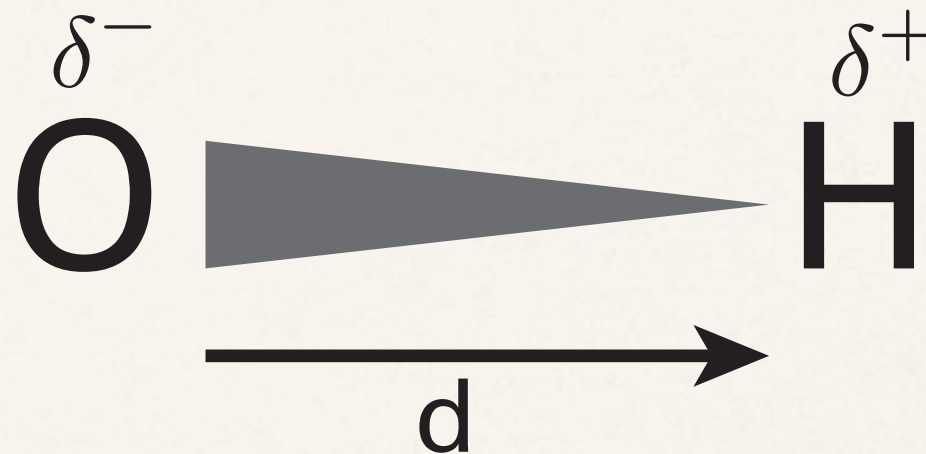
- ❖ Abstände der Rotationszustände werden nach oben hin größer
- ❖ Quantenzahl: J
- ❖ Rovibrationaler Grundzustand: $v, J = 0$



Haken Wolf, Molekülphysik und Quantenchemie (5. Auflage)

1.5 Polare Moleküle

- ❖ permanentes elektrisches Dipolmoment d
- ❖ $d = e \cdot a_0$

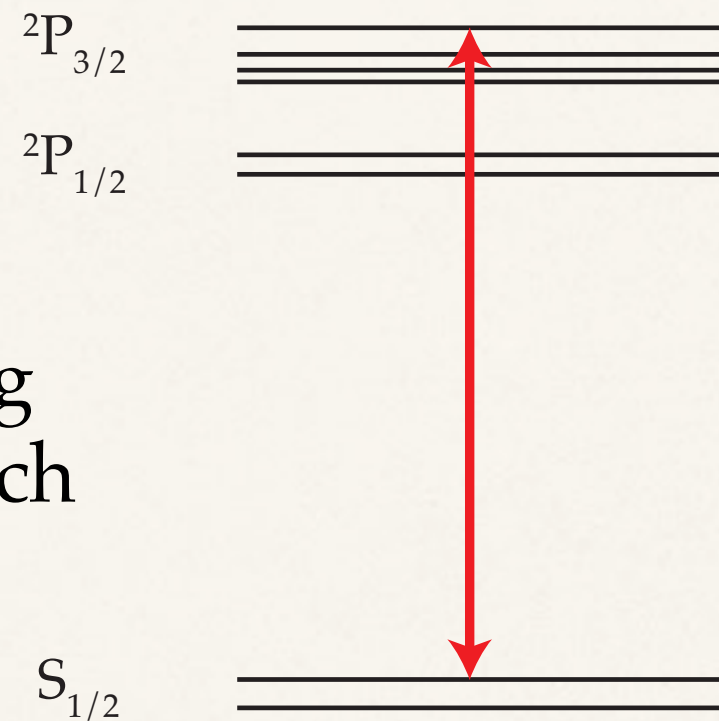


Übersicht

- ❖ 1. Generelle Eigenschaften von Molekülen
- ❖ **2. Direkte Kühlmethoden von Molekülen**
- ❖ 3. Herstellung von ultrakalten Molekülen
- ❖ 4. Stabilität von ultrakalten Molekülen
- ❖ 5. Theoretische Beschreibung von 2D Systemen

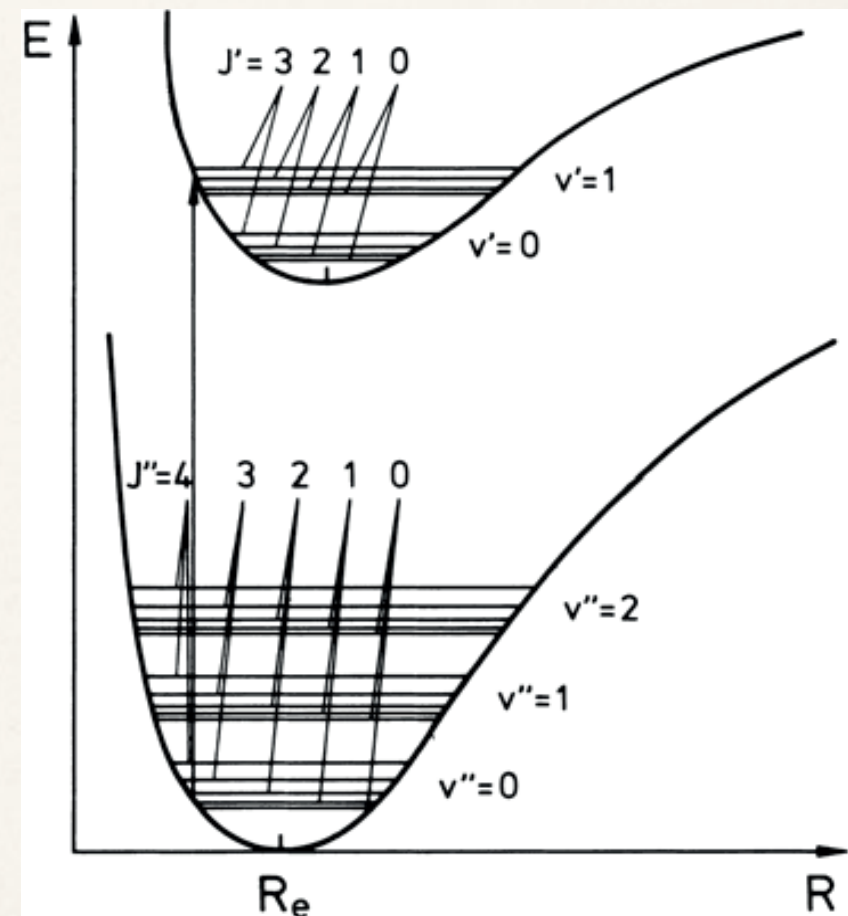
2.1 Atomare Kühlverfahren

- ❖ geschlossener Übergang
→ Laserkühlung möglich



2.1 Atomare Kühlverfahren

- ❖ Viele Vibrations- und Rotationszustände
→ kein geschlossener Übergang
→ keine effiziente Laserkühlung



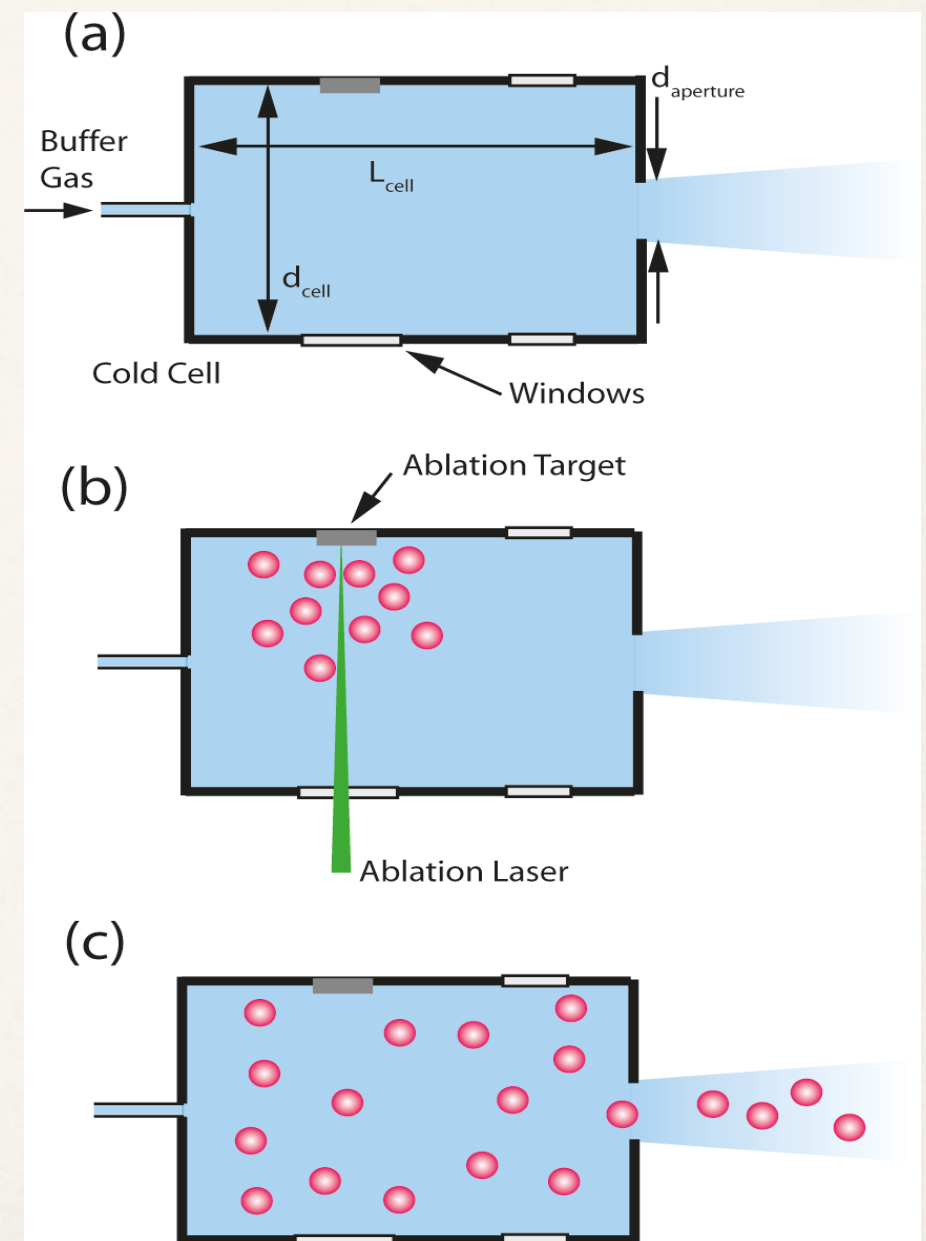
Haken Wolf, Molekülphysik und Quantenchemie (5. Auflage)

2.1 Atomare Kühlverfahren

- ❖ Verdampfungskühlung: - inelastische Stöße führen zu chemischen Reaktionen → Molekülverlust
- ❖ BEC: - Phasenraumdicke $D \approx 1$
 - Teilchendichte $n = 10^{12} \text{ cm}^{-3}$
 - Temperatur $T = 100 \text{ nK}$

2.2 Puffergas Kühlung

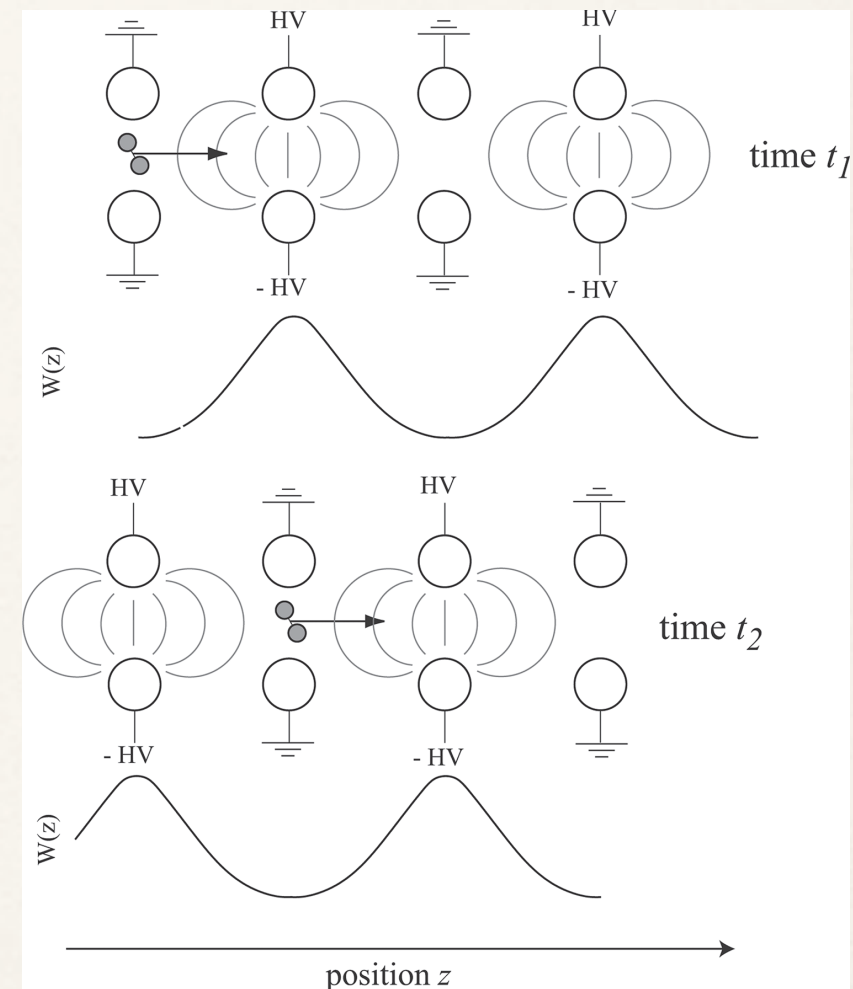
- ❖ Puffergas: Helium → bei 4 K flüssig → reaktionsträge
- ❖ Teilchendichte $n = 10^8 \text{ cm}^{-3}$
- ❖ Erreichbare Temperatur ca. 2 K



The Buffer Gas Beam: An Intense, Cold, and Slow Source for Atoms and Molecules
Chemical Reviews 112, 4803 (2012)

2.3 Stark Abbremsler

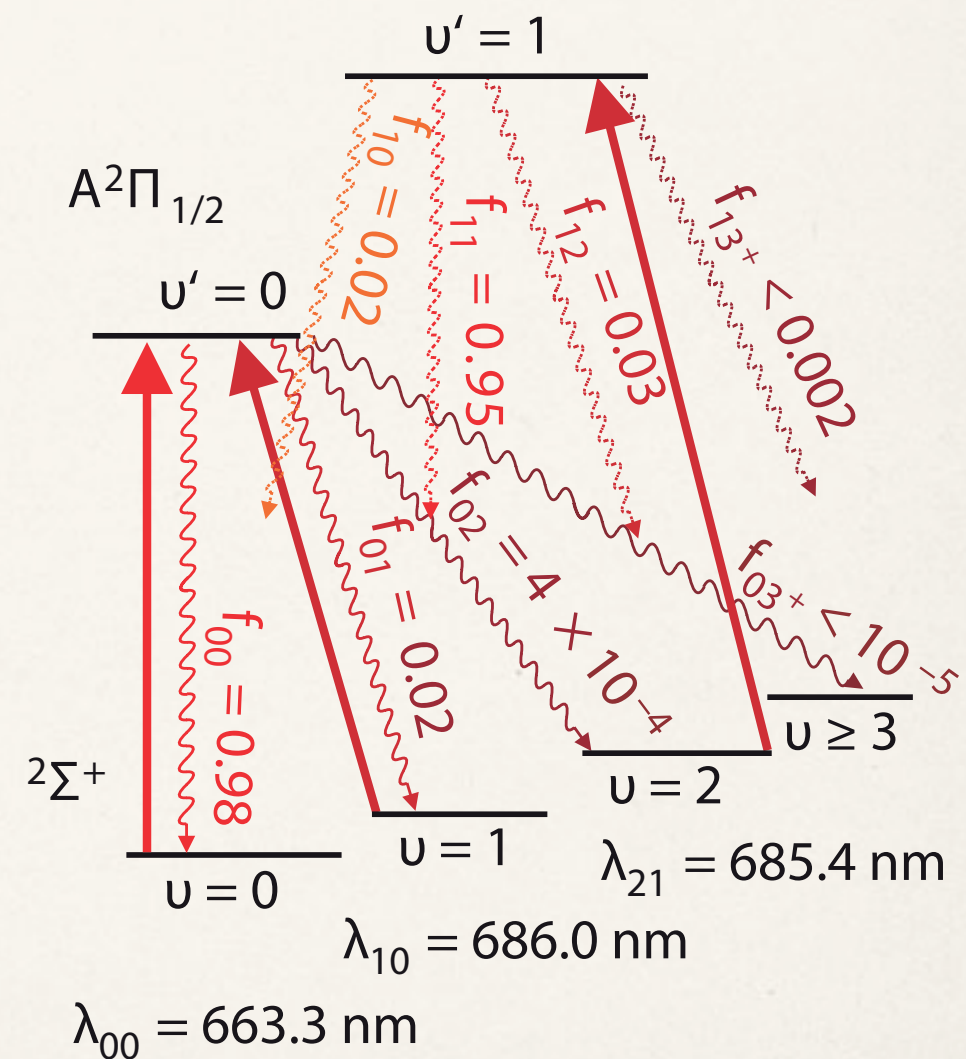
- ❖ $W = \mathbf{d} \cdot \mathbf{E}$
- ❖ $F = \mathbf{d} \cdot \nabla E$
- ❖ 40 kV an Elektroden mit 3 mm Abstand
- ❖ Teilchendichte $n = 10^7 \text{ cm}^{-3}$
- ❖ Erreichbare Temperatur ca. 1 mK



Manipulation and Control of Molecular Beams
Chemical Reviews 112, 4828 (2012)

2.4 Direkte Laserkühlung

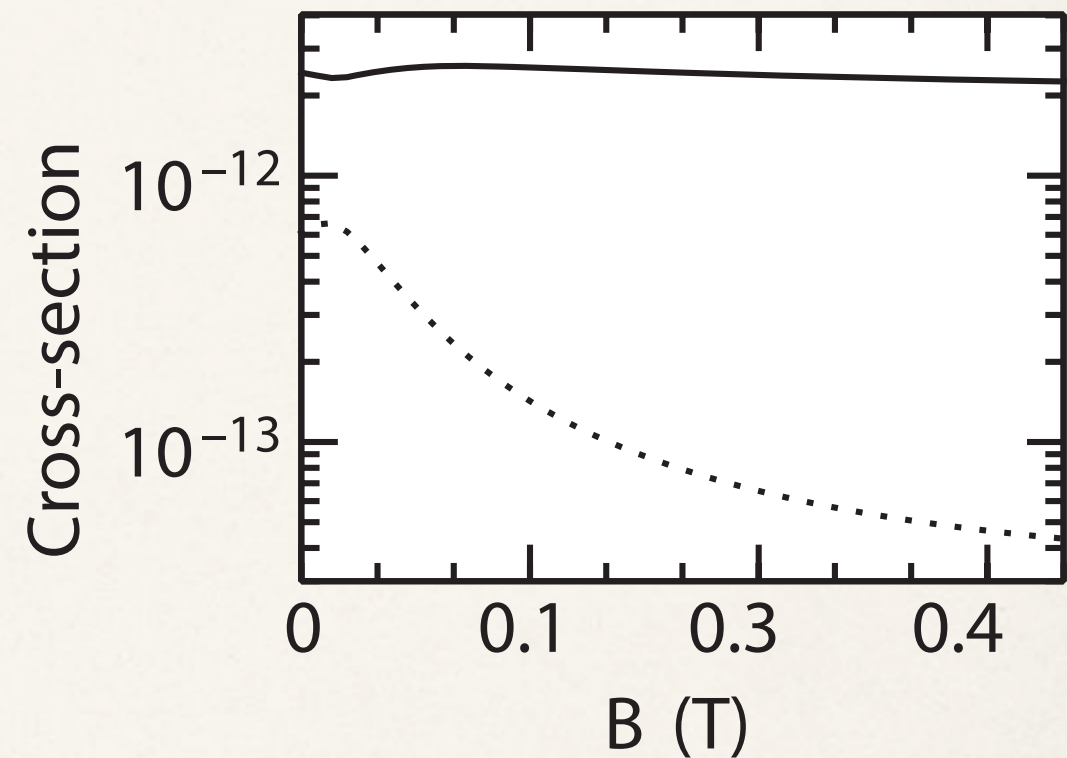
- ❖ SrF
- ❖ Kühlung von 50 mK auf 5 mK
- ❖ Verlust von 5% der Teilchen



Laser cooling of a diatomic molecule
Nature 467,820-823 (2010)

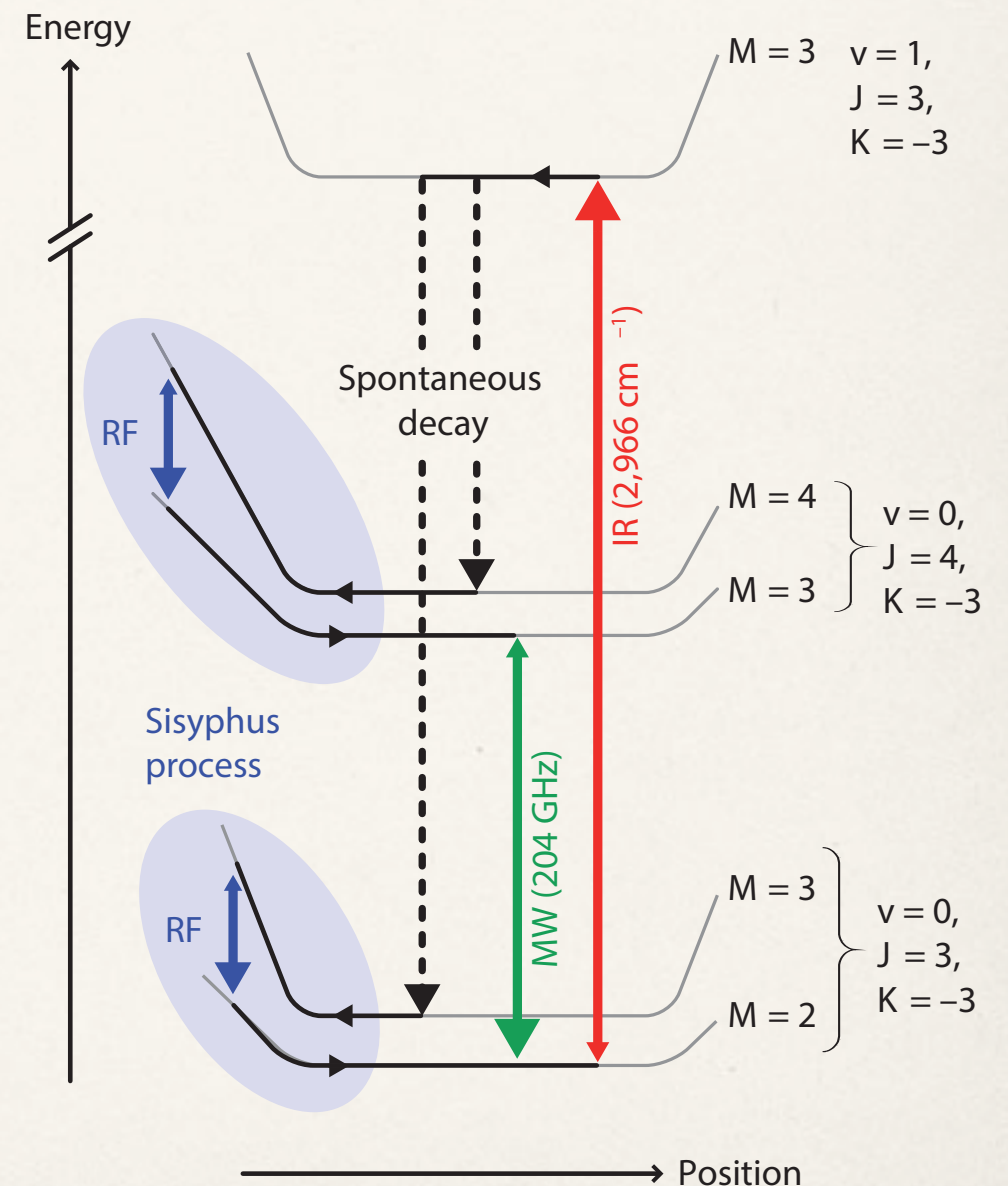
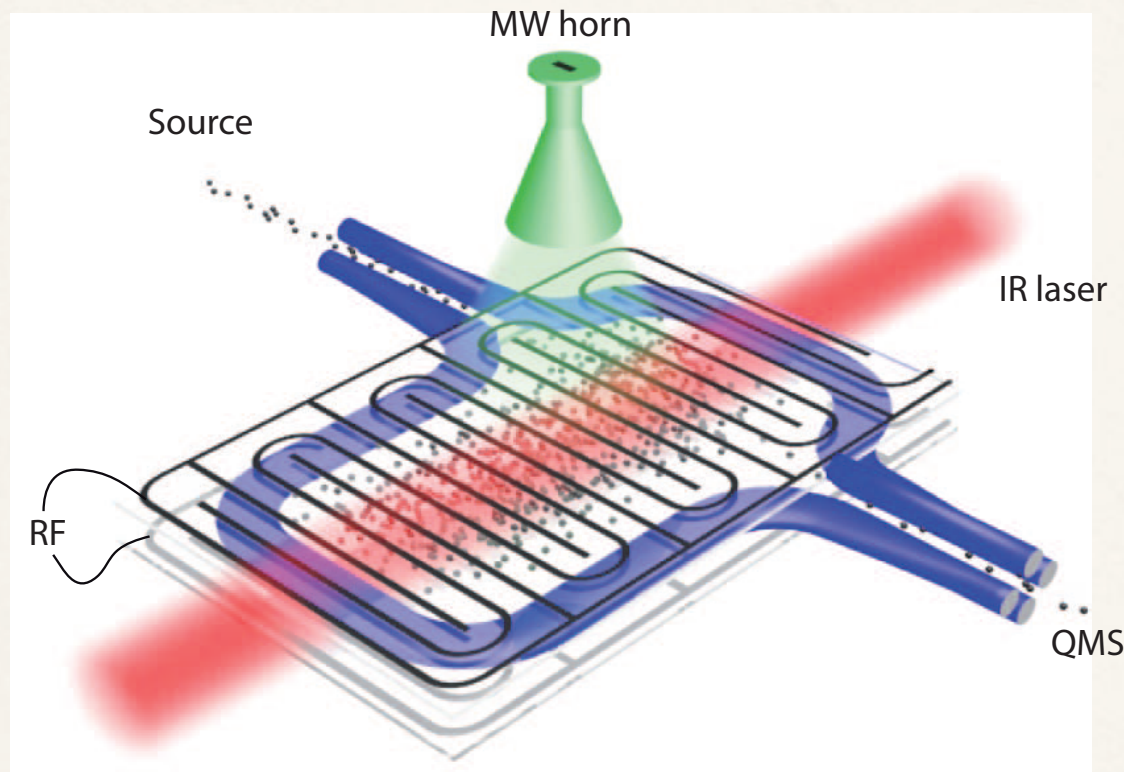
2.5 Verdampfungskühlung

- ❖ neutrales OH
- ❖ Teilchendichte
 $n = 5 \cdot 10^{10} \text{ cm}^{-3}$
- ❖ Kühlung von 20 mK auf 5 mK



Evaporative cooling of the dipolar hydroxyl radical
Nature 492, 396-400 (2012)

2.6 Sisyphuskühlung



❖ CH_3F

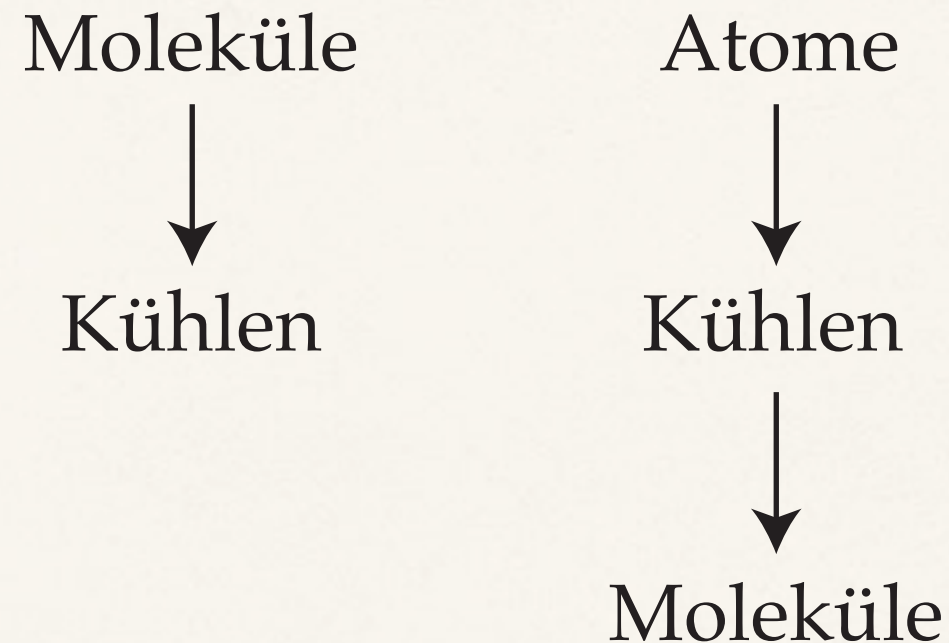
❖ Kühlung von 400 mK auf 29 mK

Sisyphus cooling of electrically trapped polyatomic molecules
Nature 491, 570–573 (2012)

Übersicht

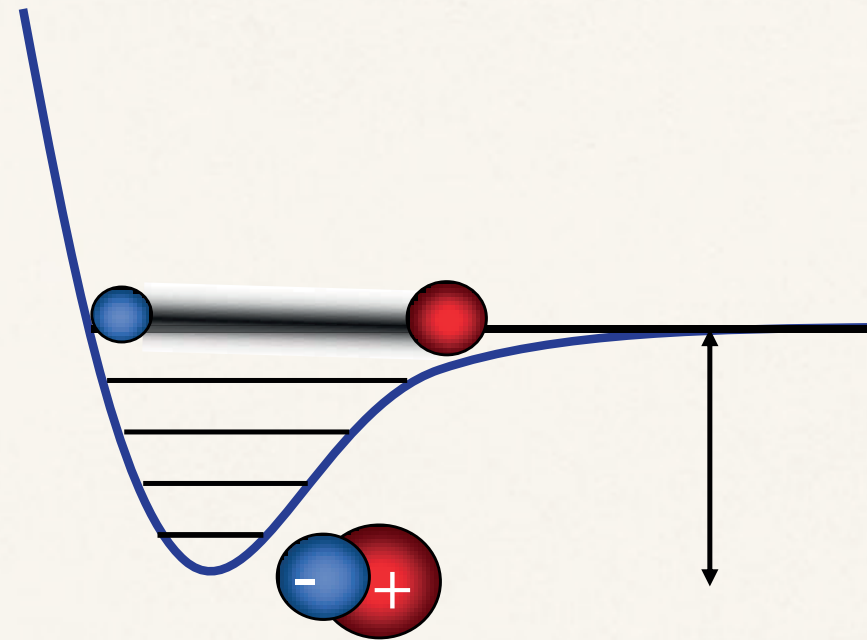
- ❖ 1. Generelle Eigenschaften von Molekülen
- ❖ 2. Direkte Kühlmethoden von Molekülen
- ❖ **3. Herstellung von ultrakalten Molekülen**
- ❖ 4. Stabilität von ultrakalten Molekülen
- ❖ 5. Theoretische Beschreibung von 2D Systemen

3.1 Neuer Kühlansatz



- ❖ Molekülerzeugung durch Feshbachresonanz
- ❖ Ultrakaltes atomares Gas mit hoher Phasenraumdichte
- ❖ Mischung aus fermionischen ^{40}K und bosonischen ^{87}Rb Atomen

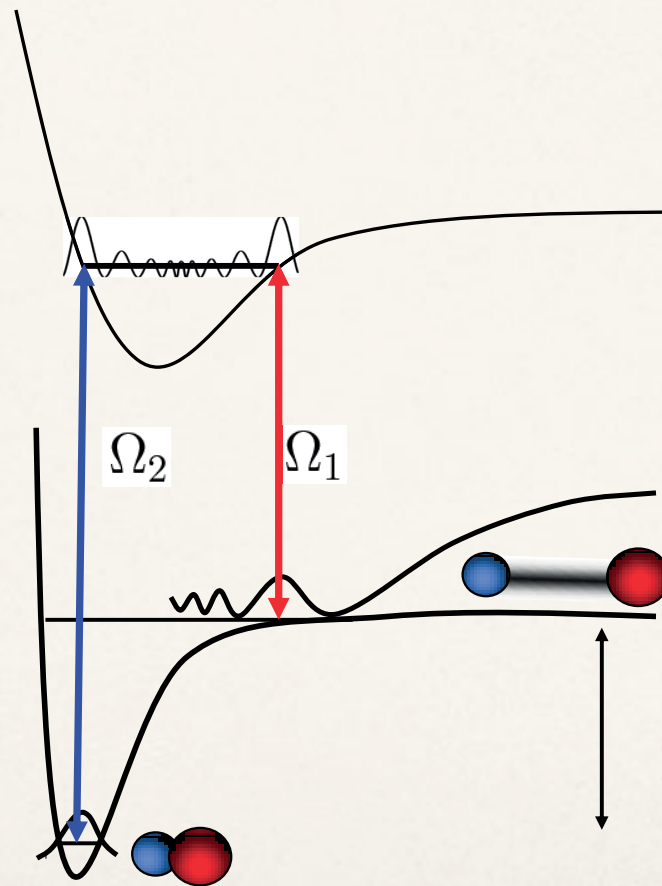
3.2 Probleme mit Feshbachmolekülen



- ❖ Sehr große Bindungslänge → schwaches Dipolmoment
 - ❖ Bindungslänge verkleinern
- Wie bekommt man das Molekül in den Grundzustand?

3.3 Motivation für STIRAP

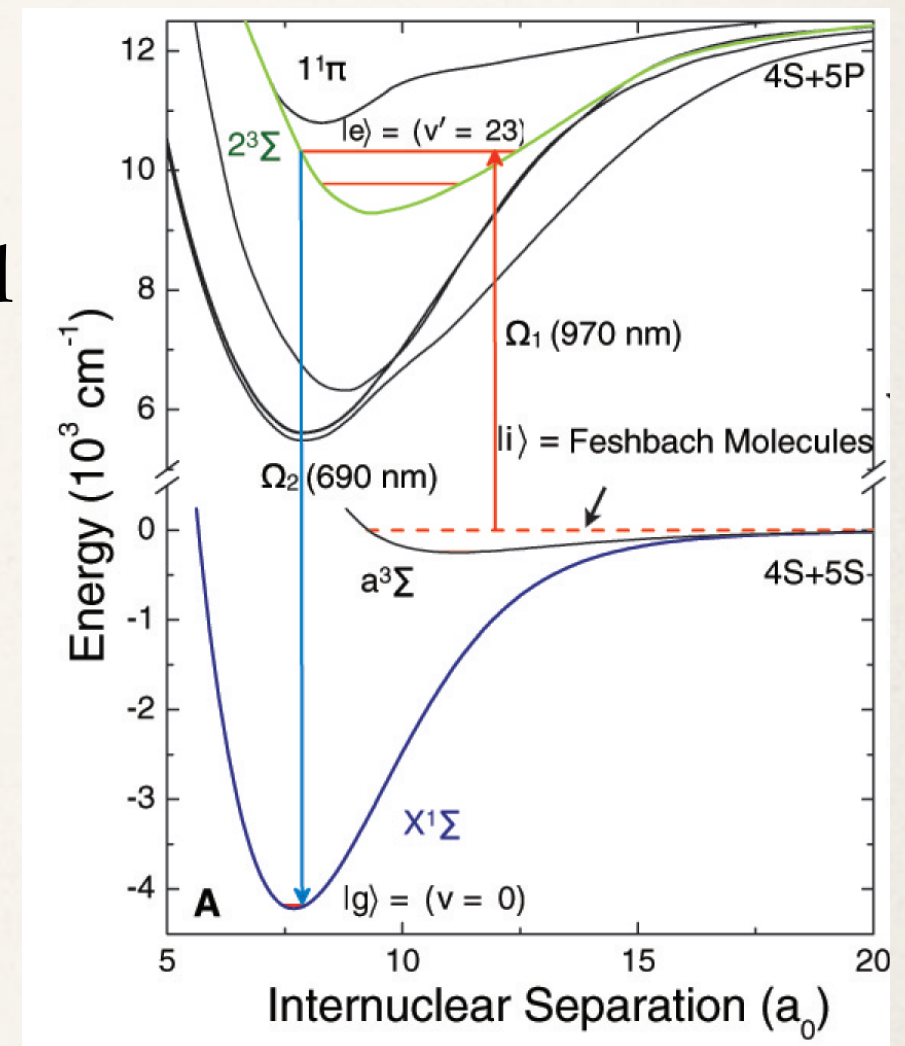
- ❖ **stimulated Raman adiabatic passage**
- ❖ 1 Photonenübergang nicht möglich (Franck-Condon Faktor)



Ultracold polar molecules, S. Ospelkaus
Conference on Research Frontiers in Ultra-Cold Atoms 4 - 8 May 2009

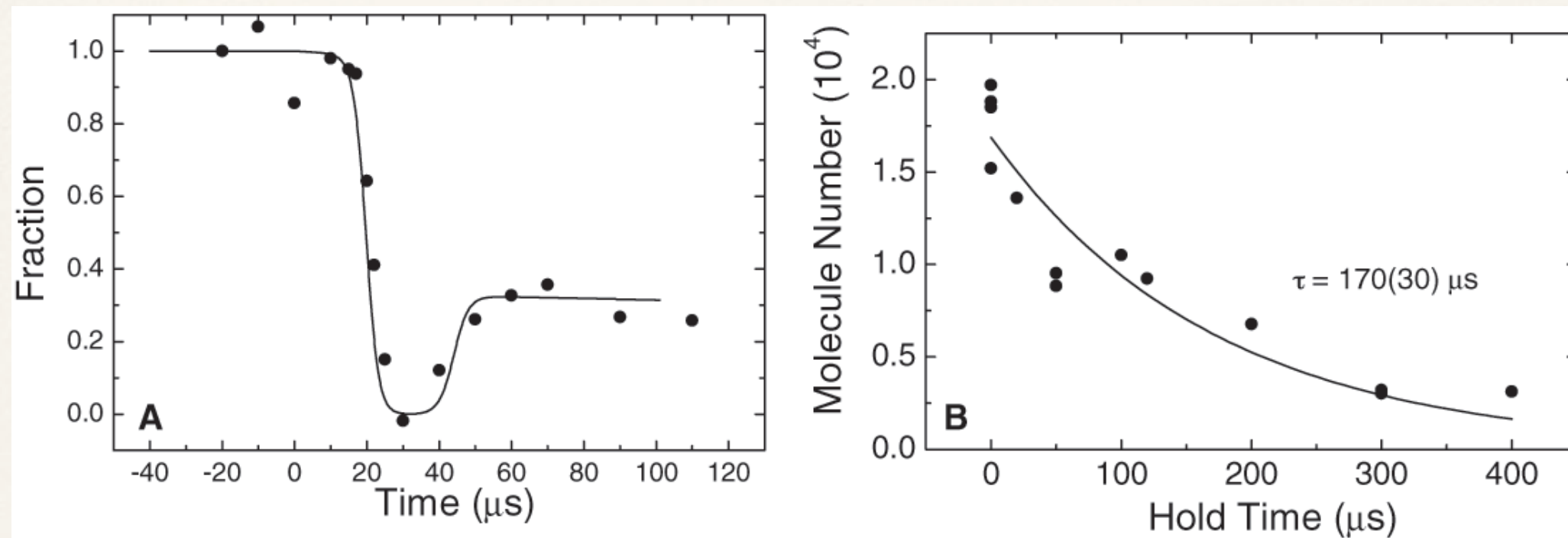
3.4 STIRAP

- ❖ Elektronisch angeregter Zwischenzustand mit großem Franck-Condon Faktor zum rovibrationalen Grundzustand und Zustand der Feshbachmoleküle
- ❖ Ramanübergang ohne frei werdende Bindungsenergie in rovibrationalen Grundzustand
- ❖ Teilchendichte $n = 10^{12} \text{ cm}^{-3}$
- ❖ Erreichbare Temperatur ca. 350 nK



A High Phase-Space-Density Gas of Polar Molecules
Science 322, 231-233 (2008)

3.5 Effizienz von STIRAP



- ❖ 56% der Moleküle bleiben erhalten

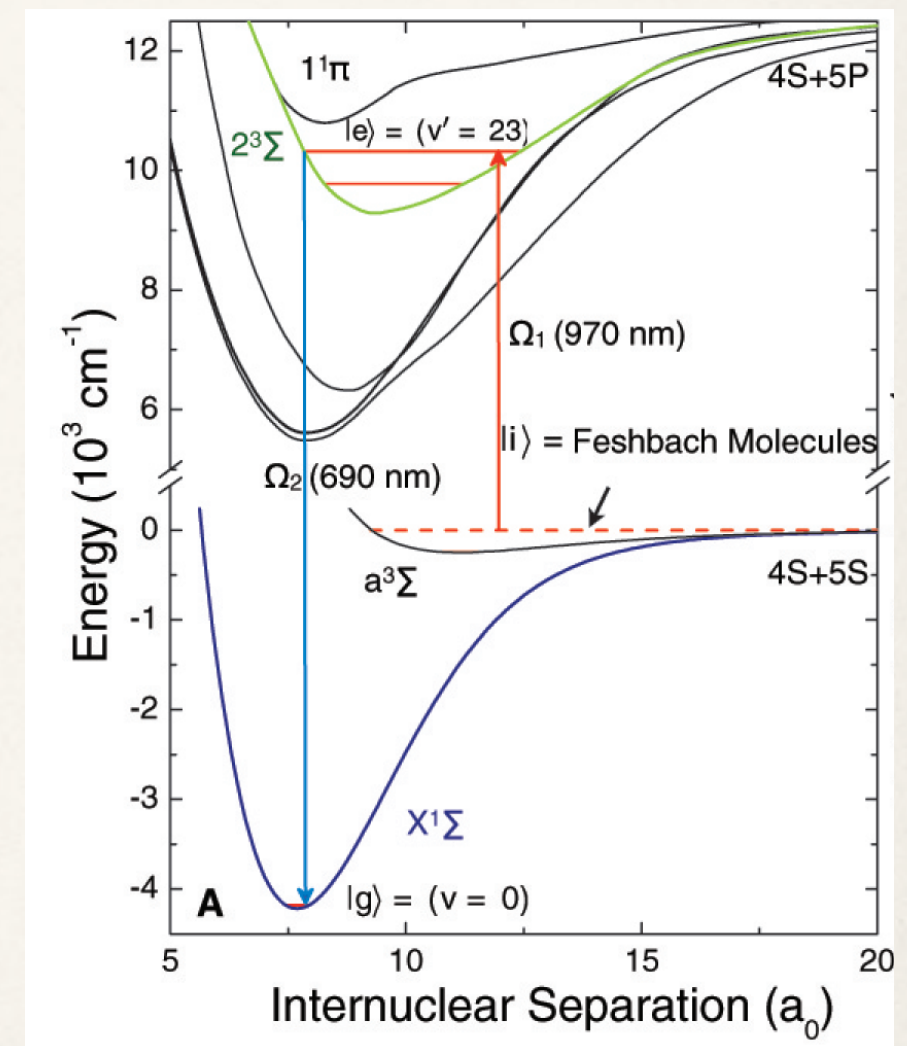
A High Phase-Space-Density Gas of Polar Molecules
Science 322, 231-233 (2008)

Übersicht

- ❖ 1. Generelle Eigenschaften von Molekülen
- ❖ 2. Direkte Kühlmethoden von Molekülen
- ❖ 3. Herstellung von ultrakalten Molekülen
- ❖ **4. Stabilität von ultrakalten Molekülen**
- ❖ 5. Theoretische Beschreibung von 2D Systemen

4.1 Dipolmoment im rovibrationalen Grundzustand

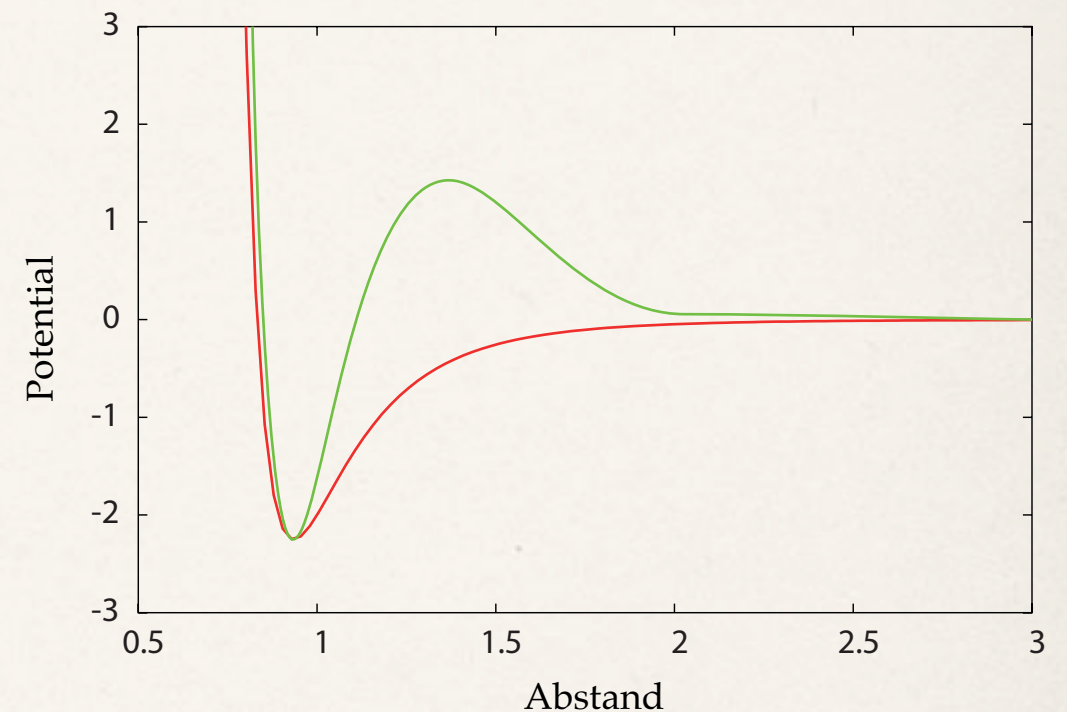
- ❖ Grundzustand ist $\Sigma \rightarrow$ s-Welle
→ $L = 0, v = 0$ und $J = 0$
→ keine Vorzugsrichtung
- ❖ Isotrope Elektronenstruktur
- ❖ Kein Dipolmoment
- ❖ Erzeugung einer Vorzugsachse durch externes E-Feld



A High Phase-Space-Density Gas of Polar Molecules
Science 322, 231-233 (2008)

4.2 Streutheorie

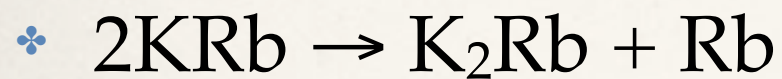
- ❖ $V_{\text{eff}} = \frac{2m}{\hbar^2} \left[V(r) + \frac{\hbar^2 l(l+1)}{2mr^2} \right]$
- ❖ Bosonen \rightarrow s-Wellenstreuung erlaubt
- ❖ Fermionen \rightarrow p-Wellenstreuung
 \rightarrow Tunneln durch Barriere



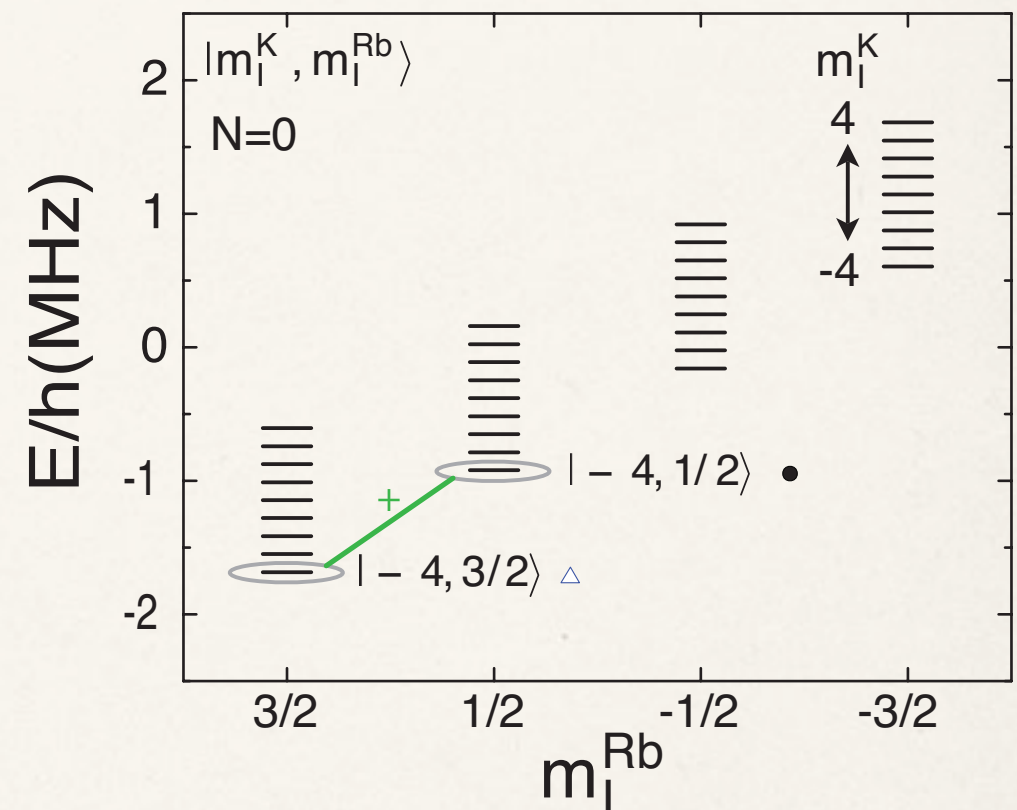
Schematischer Plot eines s-Wellen Streuungs Potentials (rot) und eines p-Wellen Streuungs Potentials (grün)

4.3 Chemische Reaktionen

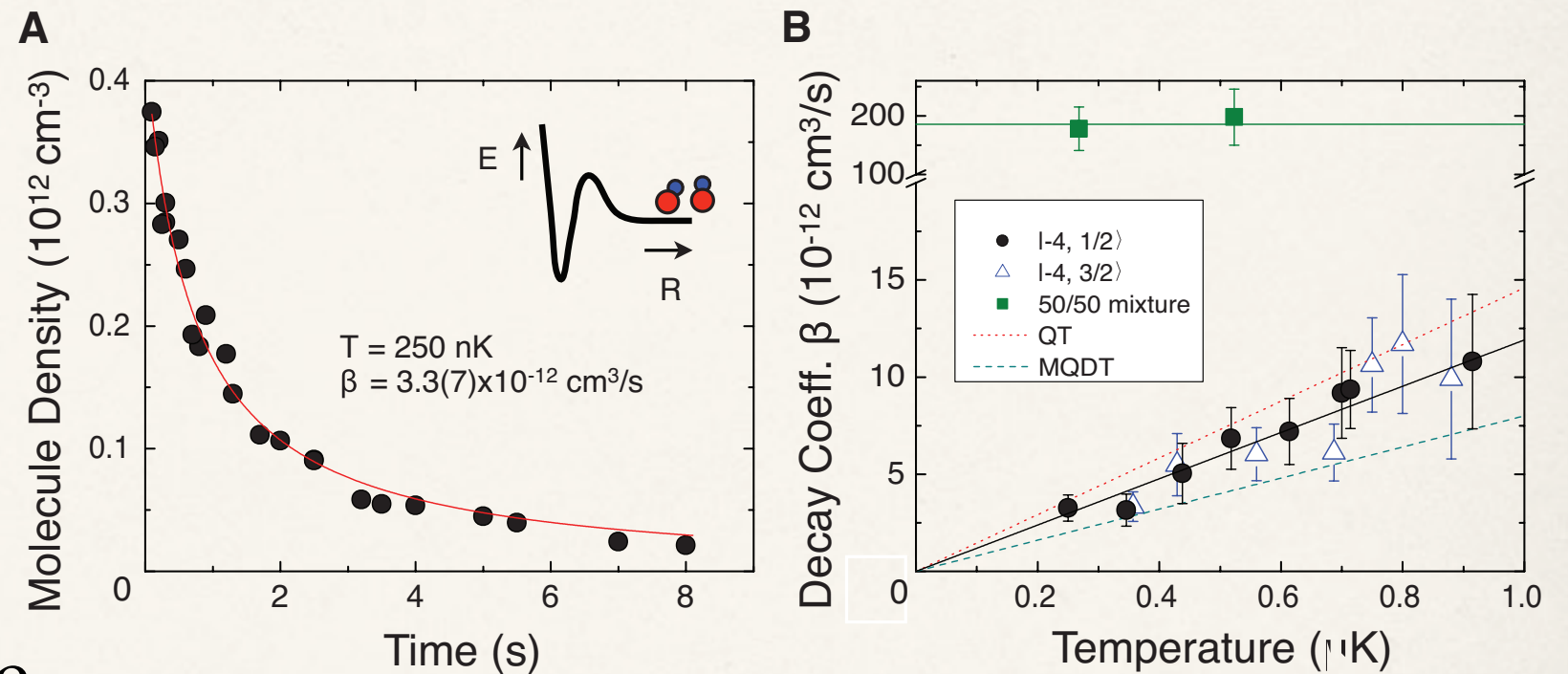
❖ Spontane Reaktionen:



❖ Reaktionen können durch präparieren bestimmter Spinzustände verhindert werden



4.4 Chemische Reaktionen ohne angelegtes Feld

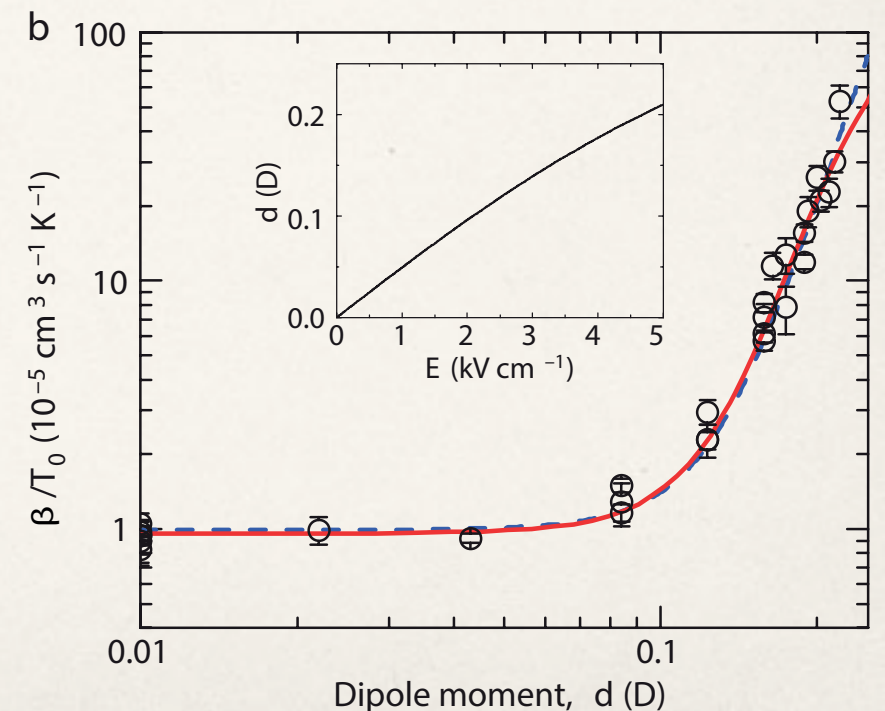
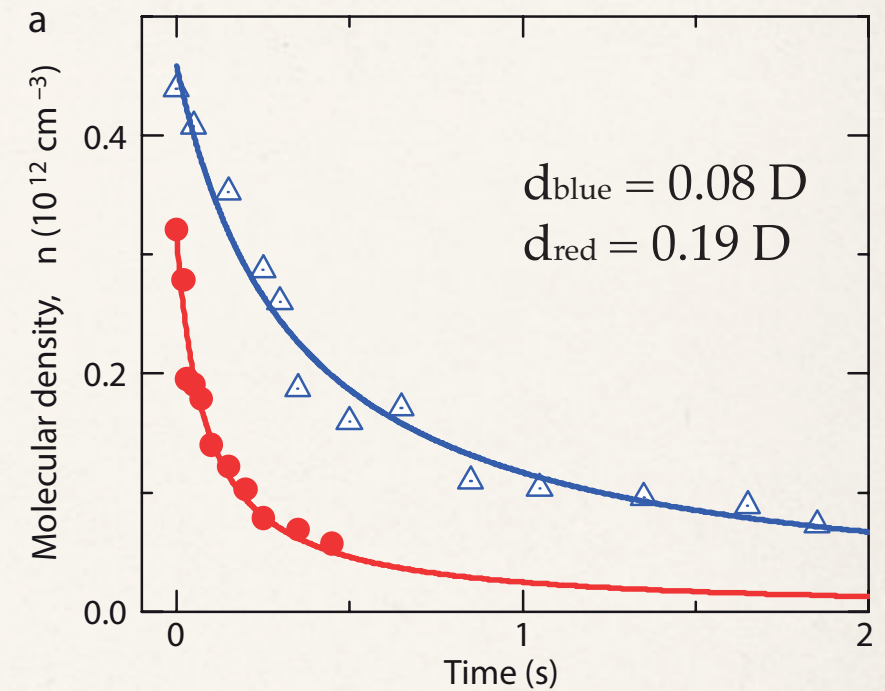


- ❖ Fermionische Moleküle
 → antisymmetrische Wellenfunktion beschreibt Stoß von zwei Molekülen
- ❖ Bei kleinen Abständen → chemische Reaktionen
 → Verlust von Molekülen

❖ $\beta(T) \propto T^L$

4.5 Chemische Reaktionen mit angelegtem Feld

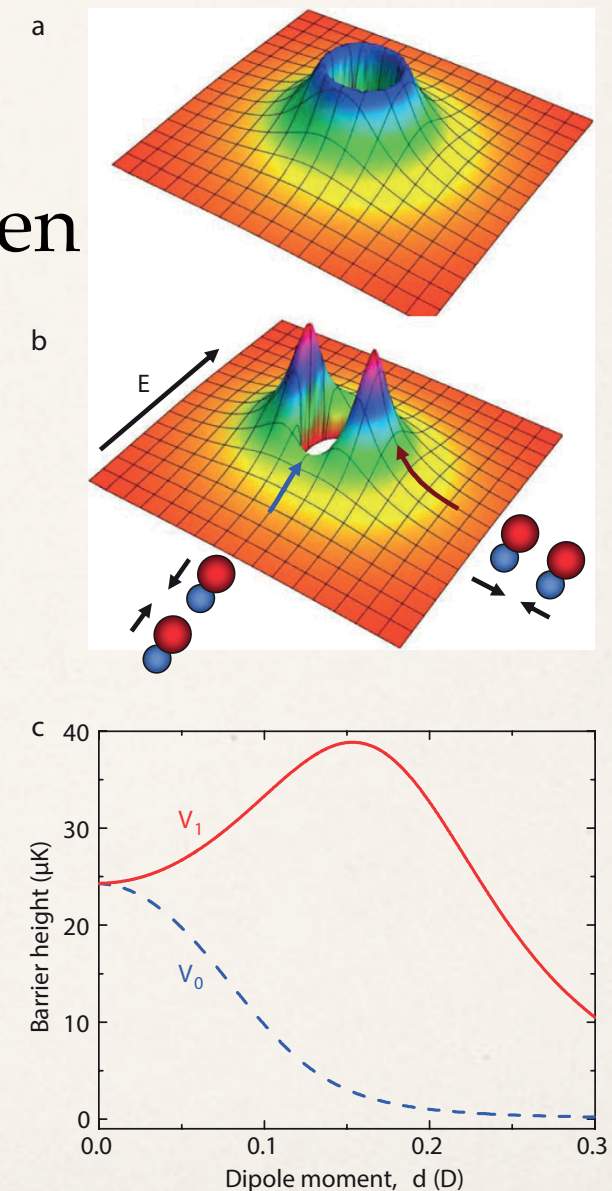
- ❖ $\beta/T_0 \propto d^p$, mit $p = \text{const.}$
- ❖ Bei angelegtem elektrischen Feld wird Barrierenhöhe verändert



Dipolar collisions of polar molecules in the quantum regime
Nature 464, 1324-1328 (2010)

4.5 Chemische Reaktionen mit angelegtem Feld

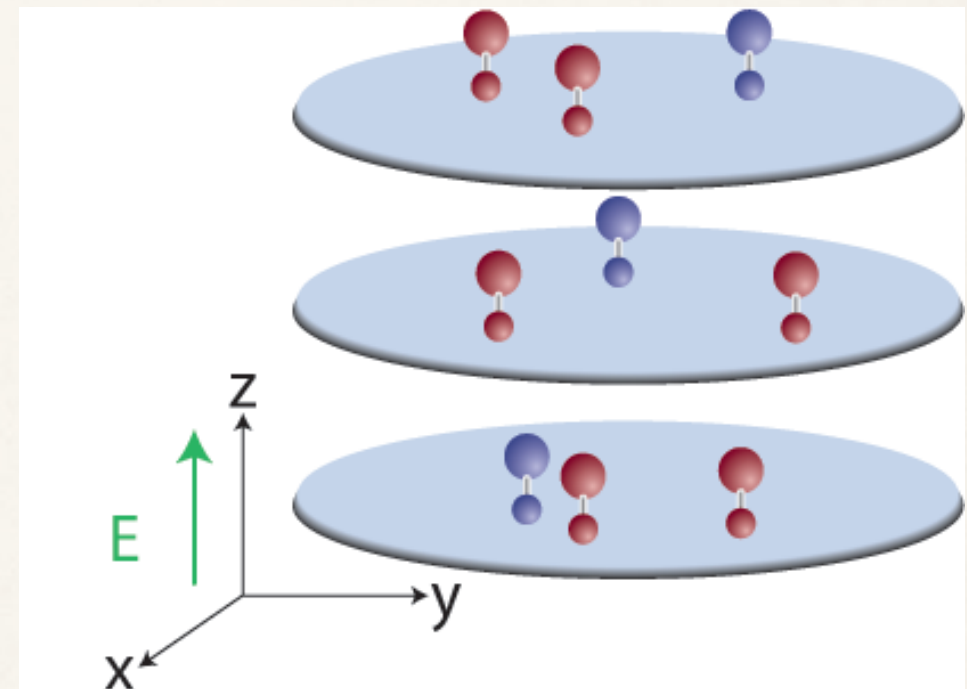
- ❖ Anisotrope Dipolwechselwirkungen beeinflussen bei angelegtem Feld die Barrierenhöhe
- ❖ $V_1 \rightarrow$ repulsiv
- ❖ $V_0 \rightarrow$ attraktiv
- ❖ Barriere für „side-by-side“ Stöße hoch \rightarrow stabil



Dipolar collisions of polar molecules in the quantum regime
Nature 464, 1324-1328 (2010)

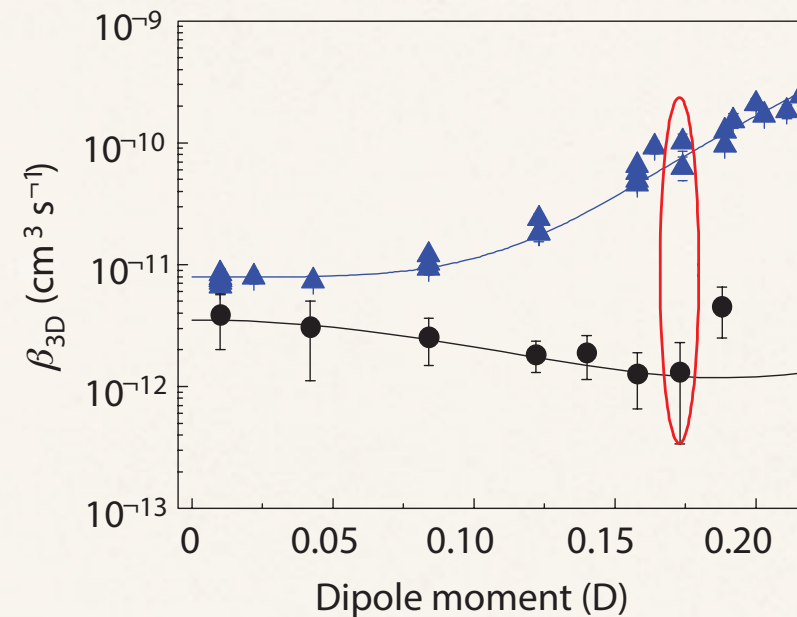
4.6 Chemische Reaktionen mit Feld und in 2D

- ❖ Elektrisches Feld und 1D optisches Gitter
- ❖ Teilchendichte
 $n = 3,4 \cdot 10^7 \text{ cm}^{-3}$
- ❖ Temperatur variierbar durch Regelung der Atomkonzentrationen im Atomgas \rightarrow 500 - 800 nK



Controlling the quantum stereodynamics of ultracold bimolecular reactions
Nature Phys. 7, 502-507 (2011)

4.6 Chemische Reaktionen mit Feld und in 2D



- ❖ Vergleich von Zerfallsrate β in 3D-System (blau) und 2D-System (schwarz)
- ❖ Rot eingekreiste Werte bei Dipolmoment $d = 0,174$ D

Controlling the quantum stereodynamics of ultracold bimolecular reactions
Nature Phys. 7, 502-507 (2011)

Übersicht

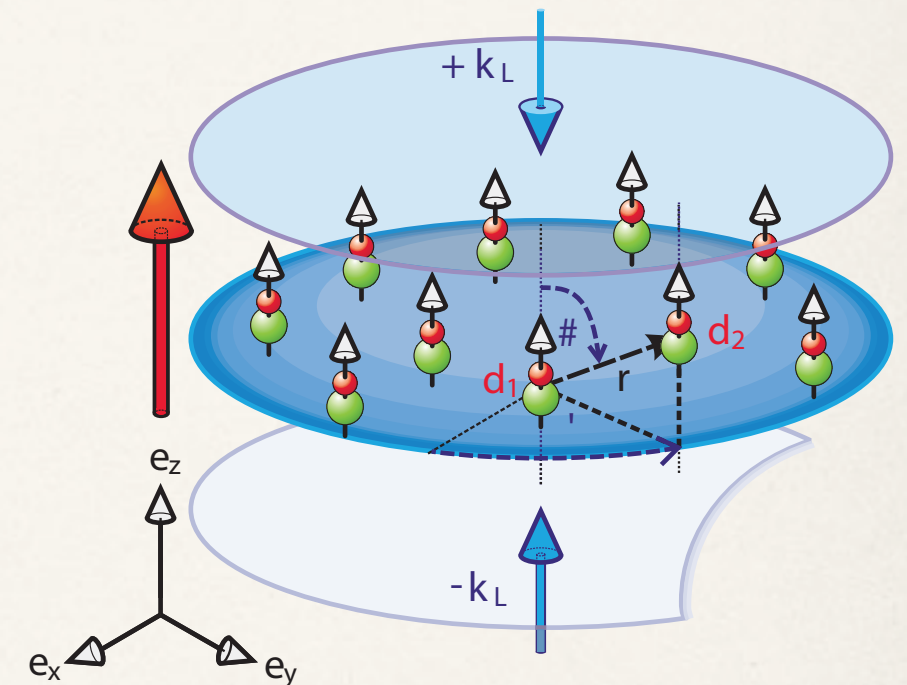
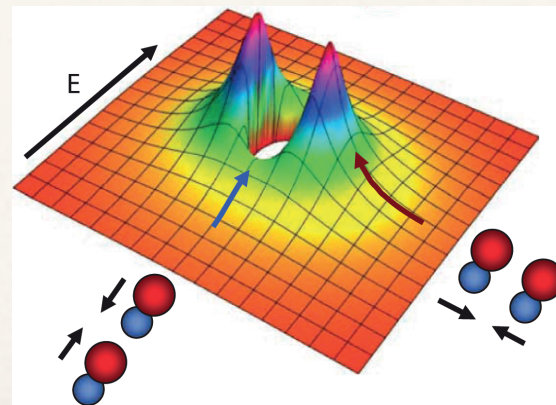
- ❖ 1. Generelle Eigenschaften von Molekülen
- ❖ 2. Direkte Kühlmethoden von Molekülen
- ❖ 3. Herstellung von ultrakalten Molekülen
- ❖ 4. Stabilität von ultrakalten Molekülen
- ❖ **5. Theoretische Beschreibung von 2D Systemen**

5.1 Motivation für theoretische Betrachtung

- ❖ Theoretisches Verhalten in 2D-System
- ❖ Quantenphasen

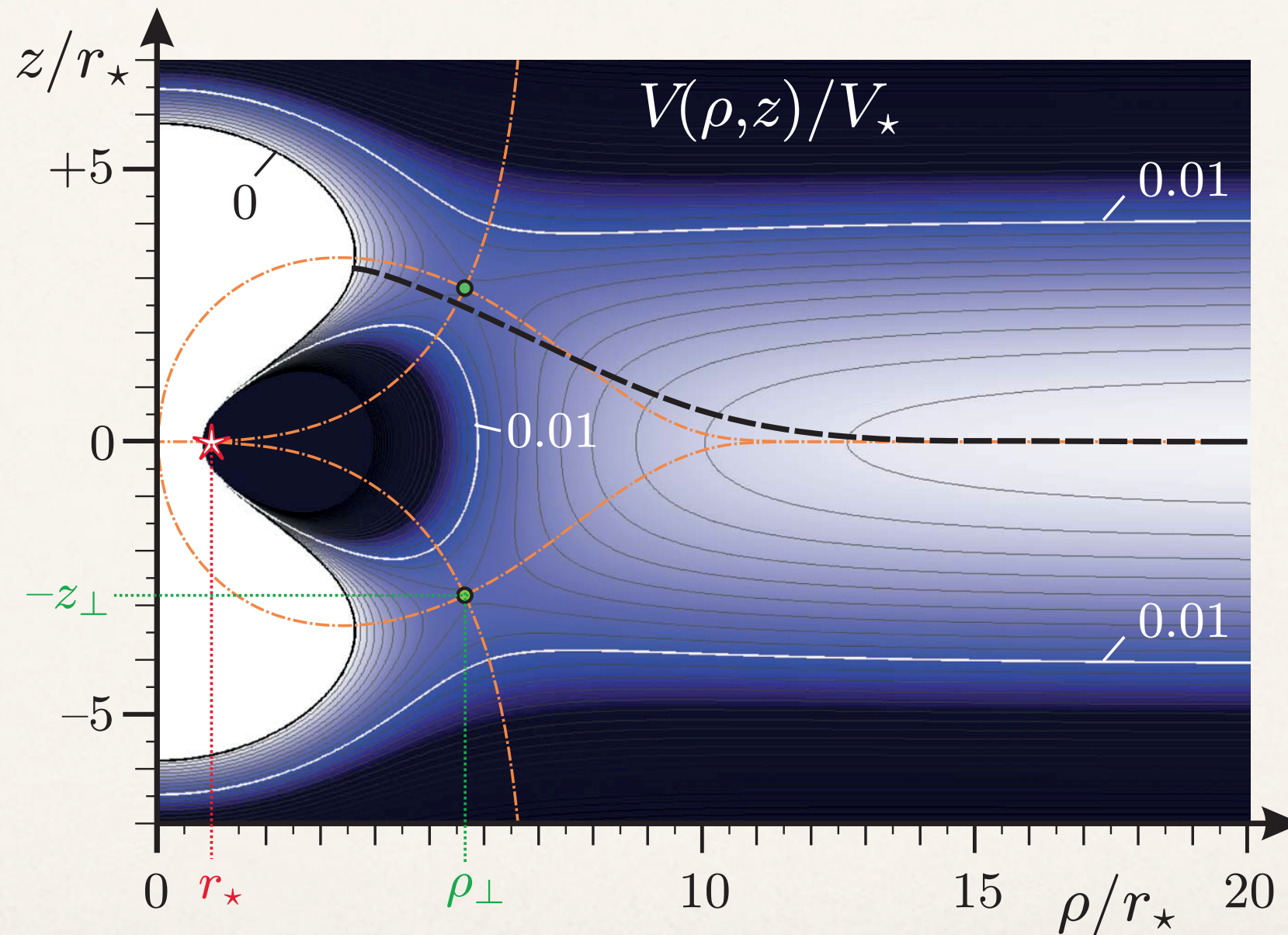
5.2 Vorbemerkungen

- ❖ Bosonische Moleküle: SrO, RbCs oder LiCs
- ❖ Langreichweitige und repulsive 2D Interaktionen
- ❖ Experimentell bestimmtes Potential



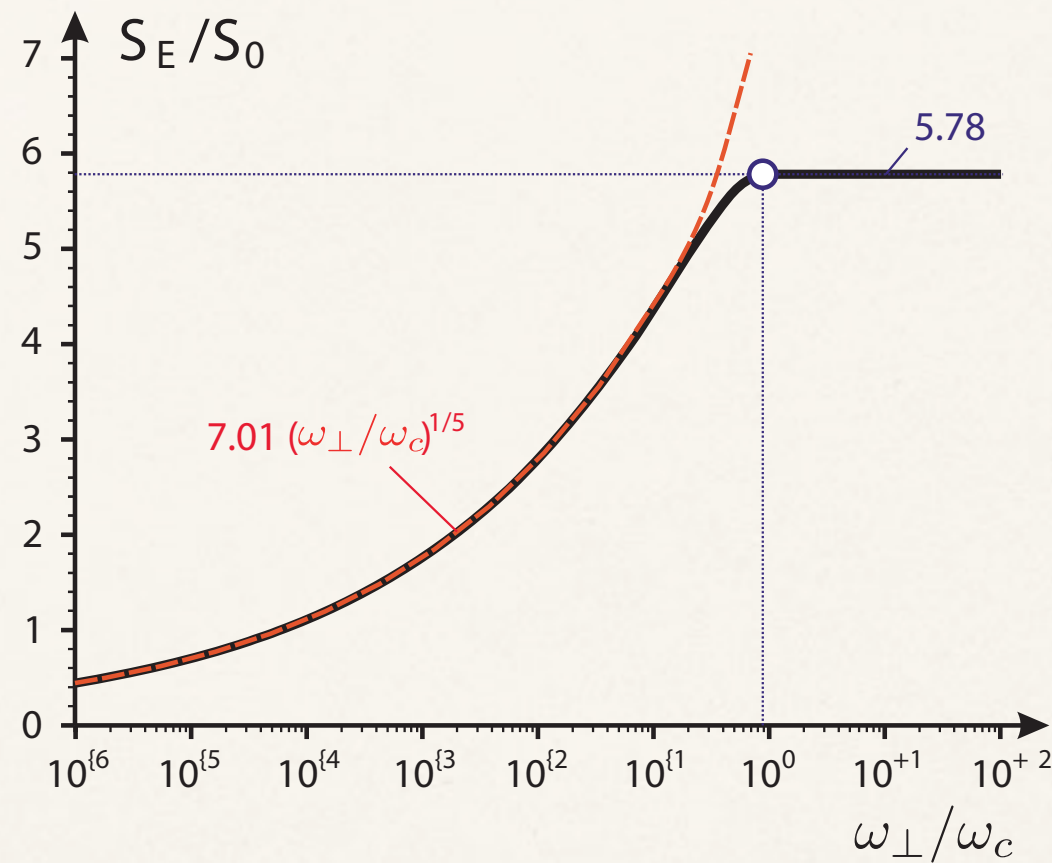
Cold polar molecules in two-dimensional traps:
Tailoring interactions with external fields for novel quantum phases
Phys. Rev. A 76, 043604 (2007)

5.3 Harmonisches Fallenpotential und angelegtes Feld



Cold polar molecules in two-dimensional traps:
Tailoring interactions with external fields for novel quantum phases
Phys. Rev. A 76, 043604 (2007)

5.4 Tunnelhäufigkeit



Cold polar molecules in two-dimensional traps:
Tailoring interactions with external fields for novel quantum phases
Phys. Rev. A 76, 043604 (2007)

5.5 Effektive 2D Interaktionen

* $V_{\text{eff}}^{2D}(\rho) \approx V_{\text{eff}}^{3D}(\rho, 0) = \frac{C_3}{\rho^3} + \frac{C_6}{\rho^6}$

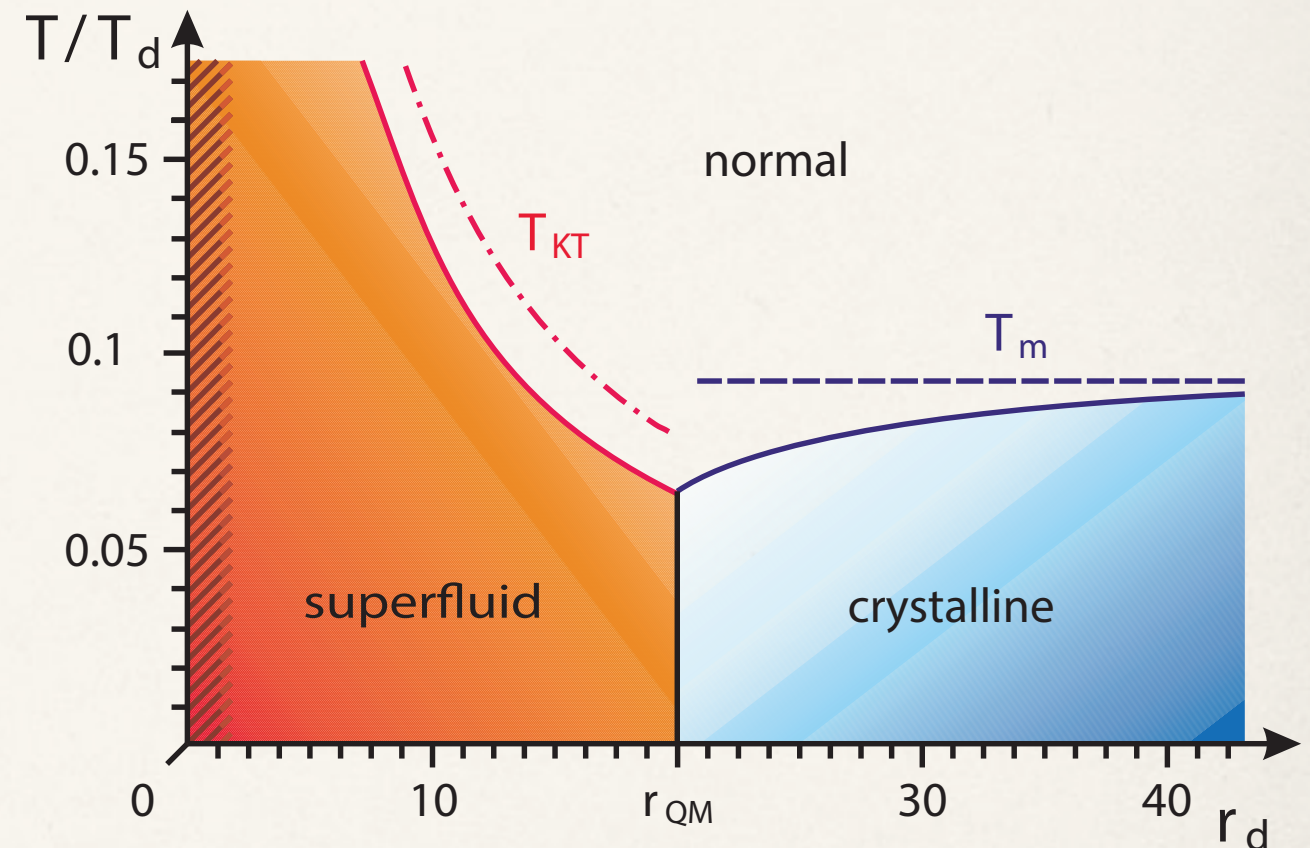
* 2D-Phasendiagramm, mit

$$T_d = \frac{C_3}{k_B a^3}$$

$$r_d = \frac{E_{\text{int}}}{E_{\text{kin}}} = \frac{C_3 m}{\hbar^2 a}$$

$$r_{QM} \approx 18 \pm 4$$

$$T_{KT} = \frac{\pi \hbar^2}{2k_B m a^2}$$



Cold polar molecules in two-dimensional traps:
Tailoring interactions with external fields for novel quantum phases
Phys. Rev. A 76, 043604 (2007)

Ausblick

- ❖ Verbesserung der direkten Kühlmethoden

- ❖ „Bessere“ Moleküle
 $2AB \rightarrow A_2 + B_2$ endotherm

	Na	K	Rb	Cs
Li	-328(2)	-533.9(3)	-618(200)	-415.38(2)
Na		74.3(3)	45.5(5)	236.75(20)
K			-8.7(9)	37.81(13)
Rb				29.1(1.5)

- ❖ Quantenentartete Gase

Ultracold Molecules under Control!
Chemical Reviews 112, 4949 (2012)

Vielen Dank für eure
Aufmerksamkeit.